

# SC-CNN 임베딩 구동 동기기법을 이용한 비밀통신의 PSpice 구현

배영철 · 김주완 · 손영우

여수대학교 전기공학과, 김포대학

## PSpice Implementation of Secure Communication with Embedding Drive Synchronization using SC-CNN

Youngchul Bae · Juwan Kim · yuengwoo Sohn

\*Yosu National University, kimpo college

E-mail : ycbae@yosu.ac.kr

### 요 약

본 논문에서는 임베딩 구동 동기화를 이용한 비밀통신회로를 구성하고 검증하였다. 임베딩 구동 동기는 Chua 회로의 미분방정식의 세 가지 상태 변수 중 전류성분과 같이 동기화와 신호 합성에 어려운 상태변수를 전압 성분으로 분리하여 각각의 CNN 성분으로 다룰 수 있는 SC-CNN을 이용하여 구성하였다.

Embedding Drive Synchronization(임베딩 구동동기)은 구동동기에서 한 미분상태변수를 완전히 대체하지 않고 동일한 시스템상의 일부 성분으로 구성하여 동기화를 이루고 비밀통신에 적용한 후 그 결과를 검증하였다

### ABSTRACT

In this paper, we configured secure communication circuit with PSpice through Embedding Drive Synchronization using SC-CNN. SC-CNN provide us a good method to separate interconnected state variables of a system respectively and to make it possible to change current component to voltage component in the state variables.

### 키워드

Chua, 임베딩 구동동기, 동기화, 카오스, 비밀통신

## I. 서 론

서론 최근에 카오스 현상에 대한 관심이 물리학, 화학, 생물학, 공학 등에서 높아지고 있으며 이에 대한 응용이 활발하게 진행되고 있다. Chua 회로는 매우 단순한 자율, 3차 시스템으로 가역성을 가지며 1개의 비선형 소자인 3 구분 선형 저항(3-segment piecewise - linear resistor)과 4개의 선형 소자인 ( $R$ ,  $L$ ,  $C_1$ ,  $C_2$ )로 구성되는 발진회로다.

Chua 회로는 확률적 공진(stochastic resonance), 신호 증폭,  $1/f$  잡음 현상, 카오스 간헐성(intermittency), 주기 배증(periodic doubling), 주기 가산(periodic Adding), autowave, 나선형파(spiral wave), 자기유사성(self-similarity), 보편성(university) 등의 현상이 관찰되고 있어 카오스 및 그 응용 연구

에 중요한 역할을 하고 있다.

Matsumoto에 의해 제안된 Chua 회로[1]을 그림 1에 나타냈으며 상태방정식은 식(1)과 같이 표시된다.

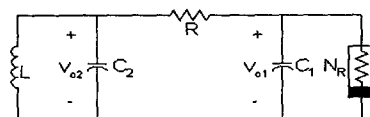


그림 1. Chua 회로

Fig. 1 Chua's circuit

$$\begin{aligned} C_1 \frac{dv_{C_1}}{dt} &= G(v_{C_2} - v_{C_1}) - g(v_{C_1}) \\ C_2 \frac{dv_{C_2}}{dt} &= G(v_{C_1} - v_{C_2}) + i_L \\ L \frac{di_L}{dt} &= -v_{C_2} \end{aligned} \quad (1)$$

여기서  $G = 1/R$ ,  $g(v_{C_1})$ 는 식 (2)와 같이 표 현되는 3구분 선형 함수 (3-segment piecewise - linear function)이며 그림 2에 나타내었다.

$$g(v_R) = m_0 v_R + \frac{1}{2}(m_1 - m_0)[|v_R + B_P| - |v_R - B_P|]$$

여기서  $m_0$ 은 외부 영역의 기울기,  $m_1$ 은 내부 영역의 기울기,  $\pm B_P$ 는 break-point이다.

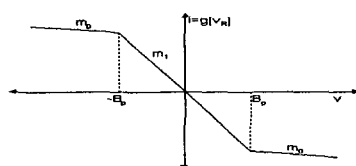


그림 2. 비선형 저항의 전압 전류 특성  
Fig. 2 v-i characteristic of nonlinear resistor

Chua 회로는, 잡음과 유사한 카오스 특성을 이용하여 카오스 신호에 정보 신호를 혼합하여 송신부에서 전송한 후 수신부에서 정보 신호와 카오스 신호를 분리하는 카오스 비밀통신에 주로 이용하고 있다[5,6].

카오스 신호를 이용한 카오스 비밀통신을 위해서는 동기화가 선행되어야 하며 이를 위한 동기화 기법으로 결합동기, 구동동기 방법[9,10] 등이 제시되었다.

결합동기는 시스템이 안정하지 않으면 결합저항을 찾지 못하는 단점과 구동동기는 송신부와 수신부의 파라미터값에 따라 구동하지 못하는 결점을 가지고 있다.

이에 본 연구에서는 Chua 회로를 기반으로 구성된 SC-CNN(State-Controlled CNN) 회로를 이용하여 카오스 회로를 구성하고 새로운 임베딩 구동 동기를 제안하였다.

## II. N-double scroll 회로

SC-CNN 회로를 얻기 위하여 Chua 회로의 변형인 n-double scroll 어트랙터를 고려하였다. n-double scroll을 얻기 위한 전기회로는 Arena[12]에 의해 구현되었으며 상태방정식은 식 (3)과 같이 주어지고 비선형 저항의 관계식은 식 (4)에 나타내었다.

$$\dot{x} = a[y - h(x)]$$

$$\begin{aligned} \dot{y} &= x - y + z \\ \dot{z} &= -\beta y \end{aligned} \quad (3)$$

$$h(x) = m_{2n-1}x + \frac{1}{2} \sum_{i=1}^{2n-1} (m_{i-1} - m_i)(|x + c_i| - |x - c_i|)$$

식(4)는  $2(2n-1)$ 개의 breakpoint를 가지며  $\alpha = 9$ ,  $\beta = 14.286$ 과 할 때, 식(4)에서의 기울기와 파라미터의 값에 따라 여러 가지 n-double scroll이 발생하게 된다.

1) 1-double scroll

$$m_0 = -1/7, \quad m_1 = 2/7, \quad c_1 = 1$$

2) 2-double scroll

$$\begin{aligned} m_0 &= -1/7, \quad m_1 = 2/7, \quad m_2 = -4/7, \\ m_3 &= m_1, \quad c_1 = 1, \quad c_2 = 2.15, \quad c_3 = 3.6 \end{aligned}$$

3) 3-double scroll

$$\begin{aligned} m_0 &= -1/7, \quad m_1 = 2/7, \quad m_2 = -4/7, \\ m_3 &= m_1, \quad m_4 = m_2, \quad m_5 = m_3, \quad c_1 = 1, \\ c_2 &= 2.15, \quad c_3 = 3.6, \quad c_4 = 8.2, \quad c_5 = 13 \end{aligned}$$

그림 3에 2-double scroll 어트랙터와 비선형 저항을 그림 4에 3-double scroll 어트랙터와 비선형 저항을 각각 나타내었다.

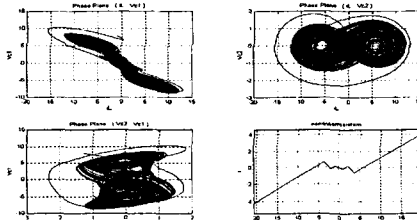


그림 3. 2-double scroll 위상공간과 비선형 저항  
Fig. 3 phase plane of 2-double scroll and nonlinear resistor

## III. SC-CNN 모델[12,13]

문헌[12,13]에서 다음과 같은 일반화된 셀 모델을 만들 수 있다.

$$\dot{x}_j = -x_j + a_j y_j + G_o + G_s + i_j \quad (5)$$

여기서  $j$ 는 셀 수,  $x_j$ 는 상태 변수,  $y_j$ 는 셀 출력수를 나타내며 다음 식과 같이 주어진다.

$$y_j = 0.5(|x_j - 1| - |x_j - 1|) \quad (6)$$

여기서  $a_j$ 는 상수 파라미터,  $i_j$ 는 임계값 (threshold value)이다

식(5)에서  $G_o$ 는 출력의 선형 조합이며,  $G_s$ 는 연결 셀의 상태 변수이다. 식 (6)의 출력 비선형 성출력은 식(7)과 같은 새로운 출력 PWL 방정식을 이용한다.

$$y_j = \frac{1}{2} \sum_{k=1}^{2n-1} n_k (|x + b_k| - |x - b_k|) \quad (7)$$

여기서  $b_k$ 는 차단점(break point)이며  $n_k$ 는 선형 구간의 기울기와 관련된 계수이다.

SC-CNN 셀은 상태 방정식(5)과 출력 방정식(7)의 조합으로 식(8)과 같은 n-Double scroll을 만들 수 있다.

$$\begin{aligned} \dot{x}_1 &= -x_1 + a_{11}y_1 + a_{12}y_2 + a_{13}y_3 + \sum_{k=1}^3 s_{1k}x_k + i_1 \\ \dot{x}_2 &= -x_2 + a_{21}y_1 + a_{22}y_2 + a_{23}y_3 + \sum_{k=1}^3 s_{2k}x_k + i_2 \\ \dot{x}_3 &= -x_3 + a_{31}y_1 + a_{32}y_2 + a_{33}y_3 + \sum_{k=1}^3 s_{3k}x_k + i_3 \end{aligned}$$

여기서  $x_1, x_2, x_3$ 는 상태 변수이며,  $y_1, y_2, y_3$ 는 이에 대응한 출력 변수이다. 식(8)에 기초한 PSpice를 이용한 CNN 회로를 그림 4에 나타내었다.

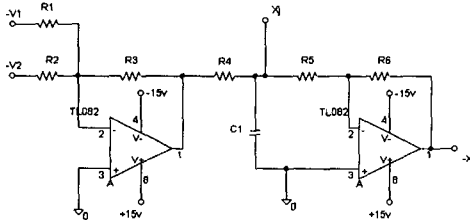


그림 4. CNN 회로도  
Fig. 4 CNN circuit

그림 4의 상태방정식을 세우면 식(9)와 같다.

$$C_j \dot{x}_j = -\frac{x_j}{R_4} + \frac{R_3}{R_1 R_4} V_1 + \frac{R_3}{R_2 R_4} V_2 \quad (9)$$

#### IV. Embedding Drive Synchronization

동기화의 방식에는 결합동기기법과 구동동기기법이 널리 쓰이고 있다. 여기에서는 SC-CNN의 장점인 회로구현에서의 상태변수의 분리구현을 이용하여 임베딩 구동 동기화를 소개하였다.

Chua 회로를 SC-CNN의 Dimensionless 형태로 바꾸어 표현하면 다음과 같다.

$$\begin{aligned} \dot{x}_1 &= -x_1 + x_1 + \alpha(x_2 - g) \\ \dot{x}_2 &= -x_2 + x_1 + x_3 \end{aligned} \quad (10)$$

$$\dot{x}_3 = -x_3 - \beta x_2 + x_3$$

$$g_1 = m_3 x_1 + \frac{1}{2} \sum_{k=0}^2 (m_k + m_{k+1})(|x_1 + c_k| - |x_1 - c_k|)$$

$$\dot{x}_4 = -x_1 + x_1 + \alpha(x_2 - g_2)$$

$$\dot{x}_5 = -x_5 + x_4 + x_6 \quad (11)$$

$$\dot{x}_6 = -x_6 - \beta x_5 + x_6$$

$$g_1 = m_3 x_1 + \frac{1}{2} \sum_{k=0}^2 (m_k + m_{k+1})(|x_1 + c_k| - |x_1 - c_k|)$$

두 번째 CNN에서  $x_4$ 의 전개항에 보면  $x_2$ 가 포함되어 있는 것을 알 수 있다. 이렇게 미분방정식에서 오른쪽 항의 일부에만 임베딩하여 동기화를 시도하는 방법이 결합동기화와 구동동기화를 하는 방법에 더 추가할 수 있다.

식(10)과 식(11)에서  $x_1, x_2, x_3$ 가 송신부가 되고  $x_4, x_5, x_6$ 가 수신부가 된다.

이렇게 수식을 구성하고 그 결과를 보면 다음과 같이 동기화가 완전하게 이루어짐을 알 수 있다.

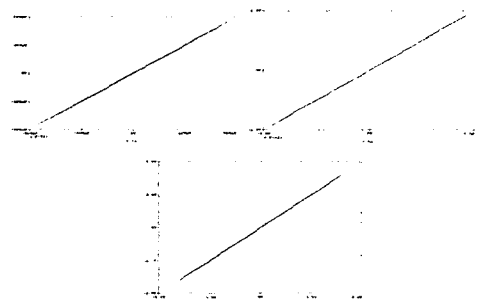


그림 7. 임베딩 구동동기를 이용한 SC-CNN의 송신부와 수신부의 동기화 결과

Fig. 7 Synchronization result of Transmission and Receiving part through Embedding Drive Synchronization

그림 7을 통해 CNN 간에 동기화가 이루어짐을 확인할 수 있다

#### V. 임베딩 동기화를 통한 비밀통신

식(6)과 식(7)의 동기화의 결과를 통하여 다음과 같이 송신부의 식(6)의 상태변수  $x_2$ 에 그림 4와 같은 정현파  $\sin(2\pi \times 700t)$ 를 정보신호로 임베딩하여 입력하였다.

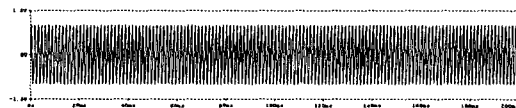
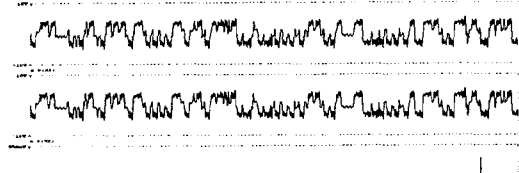
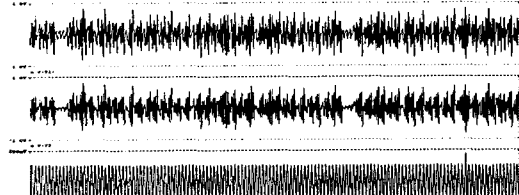


그림 4. 입력 정보 신호

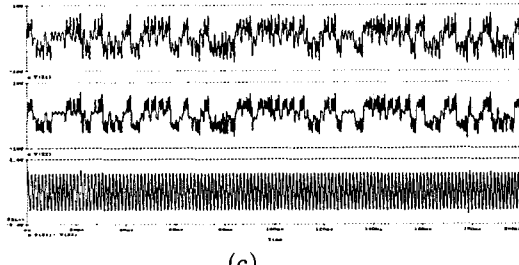
Fig. 4 input information signal



(a)



(b)



(c)

그림 4. 정보신호가 포함되었을 때의 각 상태 변수의 신호비교 (a)  $x_1$ 과  $x_4$  (b)  $x_2$ 과  $x_5$  (b)  $x_3$ 과  $x_6$

Fig. 4 Comparison of the signal of each state variables of both sides when information signal included (a)  $x_1$  and  $x_4$  (b)  $x_2$  and  $x_5$  (b)  $x_3$  and  $x_6$

그림 5에서  $X1, X2, X3$  각각 송신부의 상태 변수  $x_1, x_2, x_3$ 를 나타내며,  $X2, Y2, Z2$ 는 각각 수신부의 상태 변수  $x_4, x_5, x_6$ 를 나타낸다. 그림 5를 살펴보면  $x_1$ 과  $x_4$ 는 거의 완전히 동기화 하는 반면  $x_2$ 와  $x_5$ , 그리고  $x_3$ 과  $x_6$ 에서 는 그 차에서 정보신호를 찾을 수 있음을 알 수 있다.

이때 입력신호는  $\sin(2\pi \times 700t)$ , 출력신호는  $10 \times (Y1 - Y2)$ 를 그래프에 나타낸 것이다.



그림 6. 정보신호와 복원신호의 비교.

Fig. 6 comparison of transmitted and received signals

그림 6에 정보신호와 복원된 정보신호를 비교하여 나타내었다. (a)는  $\sin(2\pi 10t)$ 를 입력신호로 사용하였을 때이다. 그림 6의 결과를 보면 수치해석으로는 복원된 정보신호는 입력신호의 약 1/60인 것으로 나타났지만 PSpice 구현에서는 1/10로 약간의 차이가 있었다.

## VI. 결 론

SC-CNN은 Chua 회로에서 전류와 전압 성분이 혼합된 미분방정식에서의 세 가지 상태 변수 중 전류성분과 같이 동기화와 신호 합성에 어려운 상태변수를 전압성분으로 대체하여 다를 수 있는 방법을 제공하였다. 새로운 임베딩 구동 동기기법을 이용한 비밀통신의 결과를 검증하였다.

## 참고문헌

- [1] T. Matsumoto, "A Chaotic Attractor from Chua's circuit", IEEE Trans. on Circuit and System, vol. CAS-31, pp. 1055 - 1058, 1984.
- [2] 배영철, 고재호, 임화영, "Chua 회로에서의 Bifurcation과 Attractor", 대한전기학회 하계학술대회 논문집, pp. 664 - 666, 1995.
- [3] 배영철, 고재호, 임화영, "구분 선형 함수의 최적 구현에 관한 연구", 한국자동제어학술회의 논문집, pp. 370 - 373, 1995.
- [4] 배영철, 고재호, 임화영, "Chua 회로에서의 파라미터 변화에 의한 Period-doubling과 Bifurcation에 관한 연구", 한국 자동제어 학술회의 논문집, pp. 482 - 485, 1995.
- [5] L. Kocarev, K. S. Halle, K. Eckert and L. O. Chua, "Experimental Demonstration of Secure Communication via Chaotic Synchronization" Int. J. Bifurcation and Chaos, vol. 2, no. 3, pp. 709-713, 1992.
- [6] K. S. Halle, C. W. Wu, M. Itoh and L. O. Chua, "Spread Spectrum Communication through Modulation of Chaos" Int. J. Bifurcation and Chaos, vol. 3, no. 2, pp. 469-477, 1993.
- [7] J.A.K.Suykens, "n-Double Scroll Hypercubes in 1-D CNNs" Int. J. Bifurcation and Chaos, vol. 7, no. 8, pp. 1873-1885, 1997.
- [8] L. O. Chua "Chua's circuit 10 Years Later", Int. J. Circuit Theory and Application, vol. 22, no. pp 79-305, 1994
- [9] M. Itoh, K. Komeyama, A. Ikeda and L. O. Chua, "Chaos Synchronization in Coupled Chua Circuits", IEICE. NLP. 92-51. pp. 33-40. 1992.
- [10] K. M. Cuomo, "Synthesizing Self -

- Synchronizing Chaotic Arrays", Int.  
J.Bifurcation and Chaos, vol. 4, no. 3,  
pp. 727-736, 1993.
- [11] L. M. Pecora and T. L. Carroll  
"Synchronization in Chaotic System" Phy.  
Rev. Lett., vol. 64, no. 8, pp. 821-824,  
1990.
- [12] P.Arena, P.Baglio, F.Fortuna & G.Manganaro, " Generation of n-double scrolls via  
cellular neural networks," Int. J. Circuit  
Theory Appl, 24, 241-252, 1996.
- [13] P. Arena, S. Baglio, L. Fortuna and  
G.Manganaro, Chua's circuit can be  
generated by CNN cell, IEEE Trans.  
Circuit and Systems I, CAS-42, pp.  
123-125, 1995.
- [14] M. Itoh, H. Murakami and L. O. Chua,  
"Communication System Via Chaotic  
Modulations" IEICE. Trans.  
Fundamentals, vol. E77-A, no. 6, pp.  
1000-1005, 1994.
- [15] K. M. Short, " Unmasking a modulated  
chaotic communications scheme", Int. J.  
Bifurcation and Chaos, vol. 6, no. 2, pp.  
367-375, 1996.
- [16] L. Kocarev, Chaos-based cryptography: A  
brief overview, IEEE, Vol. pp. 7-21. 2001.